

УДК 532.59

БАХОЛДИН И. Б.

**УСРЕДНЕННЫЕ УРАВНЕНИЯ И РАЗРЫВЫ, ОПИСЫВАЮЩИЕ  
РАСПРОСТРАНЕНИЕ ВОЛН СТОКСА С МЕДЛЕННО  
МЕНЯЮЩИМИСЯ ПАРАМЕТРАМИ**

Исследуются уравнения, описывающие стационарную огибающую периодических волн на поверхности жидкости постоянной и переменной глубины. Методы, применявшиеся ранее [1–5] для исследования распространения солитонов, обобщаются на случай периодических волн. Рассматриваемые уравнения выводятся из кубического уравнения Шредингера с использованием предположения о медленном изменении параметров волны. При использовании этих уравнений в некоторых случаях необходимо введение разрывов. По аналогии со случаем солитонов рассматривается теория разрывов, в соответствии с которой разрывы интерпретируются как резонансные взаимодействия трех волн. Решается задача о Маховском отражении волн от вертикальной стенки и задача о распаде произвольного разрыва. Для обоснования этой теории исследуются решения, описывающие взаимодействие двух волн над горизонтальным дном. Методом усреднения [6] выводятся системы уравнений, описывающие распространение одной и двух взаимодействующих между собой волн на поверхности жидкости постоянной и переменной глубины. Эти системы имеют стационарные решения и могут быть записаны в дивергентном виде.

**1. Уравнения для волн над горизонтальным дном.** Стационарная огибающая  $A$  периодических волн малой амплитуды на поверхности жидкости постоянной глубины, распространяющихся под малыми углами к оси  $x$  горизонтальной системы координат  $x, y$  описывается кубическим уравнением Шредингера [7]

$$2A_x - \frac{i}{k} A_{yy} + iK' |A|^2 A = 0 \quad (1.1)$$

$$K' = k^3 \frac{c}{c_g} \frac{\operatorname{ch} 4q + 8 - 2 \operatorname{th}^2 q}{8 \operatorname{sh}^4 q} > 0, \quad q = kh, \quad c = \frac{\omega}{k}$$

$$c_g = \frac{\partial \omega}{\partial k} = \frac{\omega}{k \operatorname{sh} 2q} \left( \frac{\operatorname{sh} 2q}{2} + q \right), \quad \omega^2 = kg \operatorname{th} q$$

Здесь  $k$  – волновое число,  $\omega$  – частота волны,  $c$  и  $c_g$  – фазовая и групповая скорости,  $h$  – глубина жидкости,  $g$  – ускорение силы тяжести. После замены переменных  $x, y$  переменными  $xk, yk$  уравнение (1.1) приводится к виду

$$2A_x - iA_{yy} + iK|A|^2 A = 0, \quad K = K'/k \quad (1.2)$$

Уравнение (1.2) является универсальным уравнением. Оно описывает некоторые нестационарные волновые процессы на воде [8], при этом переменная  $x$  заменяется переменной времени, а знак  $K$  может быть как положительным, так и отрицательным. Кубическое уравнение Шредингера используется также в оптике, ионной акустике и ряде других моделей [9]. Перенос полученных в разд. 1–4 результатов на эти модели в случае  $K > 0$  очевиден.

После подстановки в уравнение (1.2) выражения  $A = ae^{i\psi}$ , приравнивания к пулью действительной и мнимой частей, домножения действитель-

ной части на  $a$  и дифференцирования мнимой по  $y$  возникает система [7]

$$E_x + (EW)_y = 0, \quad W_x + \frac{\partial}{\partial y} \left( -\frac{a_{yy}}{2a} + \frac{W^2}{2} + \frac{KE}{2} \right) = 0 \quad (1.3)$$

$$W = \psi_y, \quad E = a^2$$

Сделаем замену переменных  $x=LX$ ,  $y=LY$ , где  $L$  – большая величина, пренебрежем членом  $a_{yy}/(2aL^2)$  и получим нелинейную гиперболическую систему

$$\frac{\partial}{\partial X} E + \frac{\partial}{\partial Y} (EW) = 0, \quad \frac{\partial}{\partial X} W + \frac{\partial}{\partial Y} \left( \frac{W^2}{2} + \frac{KE}{2} \right) = 0 \quad (1.4)$$

Если в системе (1.4) величины  $E$ ,  $W$ ,  $X$ ,  $Y$ ,  $K/2$  обозначить  $h$ ,  $u$ ,  $t$ ,  $x$ ,  $g$ , то система совпадет с системой нестационарных уравнений мелкой воды, в которых  $u$  – средняя скорость. Следовательно, характеристические скорости системы (1.4) равны  $W \pm K/\sqrt{2}a$ , а инварианты Римана  $W \pm K\sqrt{2}a$ . Система (1.3) при малых изменениях величины  $E$  аналогична системе уравнений Буссинеска в случае, когда дисперсия обусловлена поверхностным натяжением [10].

Система (1.4) для периодических волн имеет тот же смысл, что и используемая в [1] система, описывающая эволюцию уединенных волн:

$$\frac{\partial}{\partial Y} (E \cos \alpha) - \frac{\partial}{\partial X} (E \sin \alpha) = 0, \quad \frac{\partial}{\partial Y} \frac{\sin \alpha}{V} + \frac{\partial}{\partial X} \frac{\cos \alpha}{V} = 0 \quad (1.5)$$

$$V(E, h) = \sqrt{h} \left( 1 + \frac{3}{8} \frac{E^2}{h^2} \right)$$

где  $\alpha$  – угол между касательной к фронту и осью  $X$ ,  $V$  – скорость волны,  $h$  – глубина жидкости. Если в системе (1.5) поменять  $X$  и  $Y$  местами, сделать замену  $\alpha = -W$ ,  $V = 1 + 0,5KE$  и, считая величину  $W$  малой, а величину  $E$  малой величиной порядка  $W^2$ , пренебречь членами порядка  $W^4$ , получится система (1.4). Следовательно, первое уравнение системы (1.4) имеет смысл уравнения сохранения энергии, а второе уравнение кинематическое.

**2. Теория разрывов.** При решении системы (1.4), как и в случае уединенных волн, могут возникать пересечения характеристик. Требуется введение разрывов, представляющих собой изломы фронта со скачком плотности энергии. В работе [7] для исследования маховского отражения волн Стокса от вертикальной стенки была введена модель разрыва с сохранением энергии на нем. В данной работе, как и в случае солитонов [2], разрыв интерпретируется как резонансное взаимодействие трех волн. Пусть линия разрыва прямая  $Y=0$ , а волна имеет вид

$$A = a_1 \exp [i(k_{x1}x + k_{y1}y)] + a_3 \exp [i(k_{x3}x + k_{y3}y)], \quad y > 0$$

$$A = a_2 \exp [i(k_{x2}x + k_{y2}y)], \quad y < 0$$

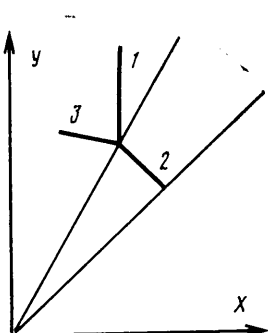
Введем следующие граничные условия на разрыве:

$$a_2^2 k_{y2} = a_1^2 k_{y1} + a_3^2 k_{y3}, \quad k_{yi} = W_i, \quad a_i^2 = E_i \quad (2.1)$$

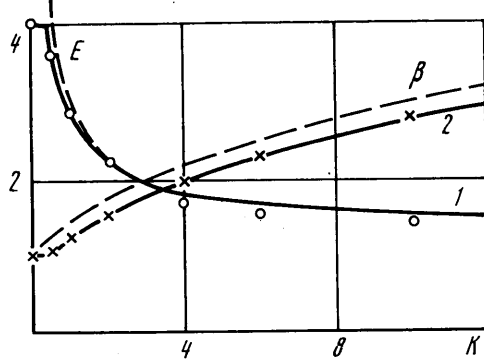
$$a_2 = a_1 + a_3, \quad k_{x1} = k_{x2} = k_{x3} \quad (2.2)$$

$$2k_{x2} + k_{y2}^2 + Ka_2^2 = 0, \quad 2k_{x1} + k_{y1}^2 + K(a_1^2 + a_3^2) = 0; \quad i = 1, 3 \quad (2.3)$$

Уравнение (2.1) – условие сохранения энергии в системе из трех волн. Уравнения (2.2) – предположение о том, что амплитуда волны 2 определяется так же, как и в линейном случае и условия сохранения числа гребней на разрыве. Уравнения (2.3) – дисперсионное соотношение для волны 2 и предполагаемые дисперсионные соотношения для волн 1 и 3,



Фиг. 1



Фиг. 2

введенные из соображений симметрии. Заметим, что из этой системы следует  $k_{y1} = -k_{y3}$ .

Уравнения (2.1) – (2.2) можно вывести, приравнивая величины  $A$ ,  $A_x$ ,  $A_y$  по разные стороны от линии разрыва. При этом приравнивание величины  $A_y$  дает соотношение, которое можно интерпретировать как условие сохранения импульса

$$a_2 k_{y2} = a_1 k_{y1} + a_3 k_{y3} \quad (2.4)$$

Соотношение (2.1) выводится из (2.4) домножением на  $a_1 + a_3$ , поскольку  $k_{y1} = -k_{y2}$  и  $a_2 = a_1 + a_3$ .

Над решениями уравнения (1.2) можно производить преобразование, которое ниже называется вращением. Если  $f(x, y)$  – решение уравнения (1.2), то  $f(x, y + \beta x) \exp[i(-\beta^2/2x - \beta y)]$  – также решение уравнения (1.2). Воспользовавшись этим преобразованием, запишем условия на разрыве, линия которого наклонена к оси  $X$  под углом с тангенсом  $\beta$

$$\begin{aligned} \beta(E_1 + E_3 - E_2) &= E_1 W_1 + E_3 W_3 - E_2 W_2, \\ \beta(W_1 - W_2) &= 0,5(W_1^2 - W_2^2) + 0,5K(E_1 + E_3 - E_2) \\ \beta(W_1 - W_3) &= 0,5(W_1^2 - W_3^2) + 0,5K(E_1 + E_3 - E_2), \quad \sqrt{E_2} = \sqrt{E_1} + \sqrt{E_3} \end{aligned} \quad (2.5)$$

В [7] численно было исследовано отражение волн Стокса от вертикальной стенки. На фиг. 1 приведена схема взаимодействия волны со стенкой в соответствии с введенной выше моделью разрыва. Полагая в соответствии с [7] в соотношениях (2.5)  $W_1 = 0$ ,  $W_2 = 1$ ,  $E_1 = 1$ , найдем значение  $E$  у стенки и тангенс угла наклона линии разрыва

$$E_2 = (1 + 1/\sqrt{2K})^2, \quad \beta = 1/2 + \sqrt{K/2} \quad (2.6)$$

На фиг. 2 показаны графики величин  $E$  и  $\beta$ , полученные в [7] численно (1 и 2) и аналитически (штриховыми линиями), а также построенные по формулам (2.6) (сплошными линиями). Модель трехволнового резонанса учитывает как маховское, так и регулярное отражение и значительно более точно определяет величины  $\beta$  и  $E$ , чем модель разрыва с сохранением энергии. Таким образом, соотношения (2.5) пригодны для исследования решений с разрывами.

Соотношения (2.1) – (2.3) аналогичны соответствующим соотношениям для трехволнового резонанса солитонов [2]. Рассмотрим эту аналогию подробнее. Решением системы (2.1) – (2.3) являются линейные соотношения

$$W_1 = -\frac{K}{\sqrt{2}} a_2, \quad W_2 = -\frac{K}{\sqrt{2}} (2a_1 - a_2), \quad W_3 = \frac{K}{\sqrt{2}} a_3, \quad a_2 = a_1 + a_3, \quad W_1 < W_2 \quad (2.7)$$

Из (2.7) следует, что характеристики системы (1.4), записанной для каждой волны отдельно, расположены по отношению к линии разрыва так же, как и в случае резонанса солитонов. У волны 1 обе характеристики приходят на линию разрыва, у волны 3 обе уходят, у волны 2 одна уходит и одна приходит. Разрыв является эволюционным.

Из уравнений (2.7) следует соотношение

$$W_2 - W_1 = K\sqrt{2}(a_2 - a_1) \quad (2.8)$$

которое выполняется при произвольном направлении линии разрыва, поскольку оно не меняет своего вида при вращении. Как и в случае солитонов [2], соотношение (2.8) совпадает с условием сохранения инварианта Римана на характеристике системы (1.4).

Задача о распаде произвольного разрыва для данной модели исследуется так же, как и для солитонов [2]. Приведем результаты ее решения для периодических волн. Индексами 1 и 2 обозначим начальные значения величин на произвольном разрыве,  $a_2 \geq a_1$ . При  $-K\sqrt{2}(a_2 - a_1) < W_2 - W_1 < K\sqrt{2}(a_2 - a_1)$  решение содержит центрированную простую волну и трехволновую конфигурацию. При  $K\sqrt{2}(a_2 - a_1) < W_2 - W_1 < K\sqrt{2}(a_2 + a_1)$  решение содержит две трехволновые конфигурации, а при  $k\sqrt{2}(a_2 + a_1) < W_2 - W_1 < k\sqrt{2}(a_2 - a_1)$  — две простые волны. При  $W_2 - W_1 > k\sqrt{2}(a_2 + a_1)$  формальное решение содержит два разрыва, линии которых сходятся. Требуется введение разрыва типа пересечения волн [2]. При  $W_2 - W_1 < -K\sqrt{2}(a_2 + a_1)$  в решении имеются центрированные простые волны, между которыми образуется зона тени, где нет волн.

Необходимо отметить, что приведенная в этом разделе модель является приближенной, поскольку в случае периодических волн волны 1 и 3 нельзя исследовать независимо друг от друга. Точный метод рассматривается в следующих разделах.

**3. Осредненные уравнения для двух взаимодействующих волн.** Будем считать, что в уравнении (1.2)  $K=1$ , что достигается заменой переменной  $A$  на  $A\sqrt{K}$ . Подставим в уравнение (1.2) выражение  $A=a_i \exp(i\psi_i) + a_{i+1} \exp(i\psi_{i+1})$ , приравняем к нулю действительную и мнимую части, а затем сгруппируем в них члены так, чтобы выделить для каждой волны энергетическое и кинематическое соотношения

$$2a_{ix} + 2a_{iy} + a_i \psi_{iyy} = 0; \quad i=1, 2 \quad (3.1)$$

$$2a_i \psi_{ix} - a_{iyy} + a_i \psi_{iy}^2 + a_i [a_1^2 + a_2^2 + 2a_1 a_2 \cos(\psi_1 - \psi_2)] = 0 \quad (3.2)$$

Величины  $\psi_x$ ,  $\psi_y$  при  $\psi=0$  ниже обозначаются  $k_x$ ,  $k_y$ . Рассмотрим стационарные (не зависящие от  $x$ ) решения системы (3.1), (3.2). Интегрируя уравнения (3.1), получаем

$$a_i^2 \psi_{iy} = a_{0i}^2 k_{yi}, \quad \psi_i = \int_0^y \psi_{iy} dy \quad (3.3)$$

где  $a_0$  — значение  $a$  при  $\psi=0$ . Подставляя  $\psi_{iy}$  и  $\psi_i$  из уравнений (3.3) в уравнения (3.2), получаем

$$\frac{a_{iyy}}{a_i} = 2k_{xi} + \left( \frac{a_{0i}^2 k_{yi}}{a_i^2} \right)^2 + a_1^2 + a_2^2 + 2a_1 a_2 \cos \int_0^y \left( \frac{a_{01}^2}{a_1^2} k_{y1} - \frac{a_{02}^2}{a_2^2} k_{y2} \right) dy \quad (3.4)$$

Если предположить, что

$$a_i = a_{0i} \theta, \quad \theta(0) = 1, \quad -k_{y1} = k_{y2} = k_y > 0, \quad k_{x1} = k_{x2} = k_{x3}$$

то при  $i=1$  и 2 уравнения (3.4) будут иметь одинаковый вид

$$\theta_{yy} = \theta \left[ 2k_x + \left( \frac{k_y}{\theta^2} \right)^2 + \theta^2 \left( a_{01}^2 + a_{02}^2 + 2a_{01} a_{02} \cos \int_0^y \frac{2k_y}{\theta^2} dy \right) \right] \quad (3.5)$$

Уравнение (3.5) приводится к виду

$$\begin{aligned} z_{\psi\psi} &= \chi z^{-3} - z - z^{-5} (1 + \eta^2 + 2\eta \cos 2\psi) \\ \psi &= \int_0^y \frac{k_y}{\theta^2} dy, \quad z = \frac{1}{R\theta}, \quad R = \frac{a_{02}}{a_{01}^2} k_y = \frac{\eta}{a_{01}} k_y = \frac{1}{z(0)} \\ \eta &= \frac{a_0^2}{a_{01}}, \quad \chi = -\frac{2k_x}{k_y} \left( \frac{k_y}{a_{01}} \right)^{4/3} \end{aligned} \quad (3.6)$$

Пусть величина  $\eta$  малая,  $z=z_0+z_1$ , где  $z_1$  — малая величина порядка  $\eta$ . После линеаризации уравнения (3.6) получим

$$z_{1\psi\psi} = (-4 + 2z_0^{-6})z_1 - z_0^{-5}2\eta \cos \psi, \quad \chi z_0^{-3} - z_0 - z_0^{-5} = 0 \quad (3.7)$$

Общим решением уравнения (3.7) будет

$$z_1 = z_0 [\eta \cos 2\psi + b \cos(\psi \sqrt[4]{4-2z_0^{-6}} + \Delta)] \quad (3.8)$$

где  $b$  и  $\Delta$  — произвольные постоянные. Это решение квазипериодическое. С точностью до членов порядка  $\eta$  модуль комплексной амплитуды — периодическая функция, определяемая формулой

$$|A| = a_{01} [1 - b \cos(\psi \sqrt[4]{4-2z_0^{-6}} + \Delta)] \quad (3.9)$$

Следовательно, это решение можно рассматривать как решение, описывающее взаимодействие двух волн. Максимумы функции  $|A|$  соответствуют пересечению гребней или ложбин волн. Из формулы (3.9) видно, что одно и то же решение о взаимодействии волн может быть представлено в виде  $a_1 \exp(i\psi_1) + a_2 \exp(i\psi_2)$  разными способами. Наиболее удобно выбирать  $b = -\eta$ ,  $\Delta = 0$ , тогда  $z(0) = z_0$ ,  $z_\psi(0) = 0$ .

При конечных значениях  $\eta$  решение уравнения (3.6), описывающее взаимодействие двух волн, искалось численно. Начальные условия полагались следующими:

$$z(0) = z_0, \quad z_\psi(0) = 0, \quad \chi z_0^{-3} - z_0 - z_0^{-5} (1 + \eta^2) = 0 \quad (3.10)$$

Из последнего соотношения следует дисперсионное соотношение для пары волн, использовавшееся в разд. 2

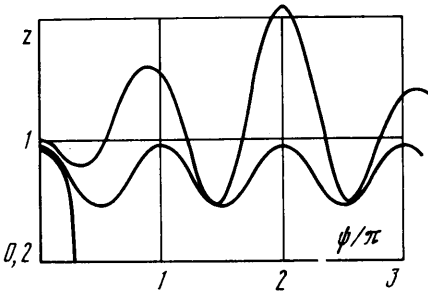
$$2k_{xi} + k_{yi}^2 + a_{01}^2 + a_{02}^2 = 0 \quad (3.11)$$

Найдем значение  $z_0 = z_{0*}$ , при котором возникает резонанс, т. е. слияние двух волн в одну. Из соотношений (2.1)–(2.3) следует уравнение

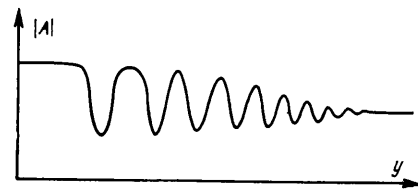
$$\left( \frac{1-\eta}{1+\eta} \right)^2 z_0^6 - \chi z_0^2 + (1+\eta)^2 = 0 \quad (3.12)$$

Подставляя в (3.12)  $z_0$  из соотношения (3.11), находим  $z_{0*} = (1+\eta)^{1/3} 2^{-1/6}$ .

Расчеты показывают, что при  $z_0 > z_{0*}$  решение квазипериодическое, а функция  $|A|(y)$  периодическая. При  $z_0 = z_{0*}$  решение периодическое,  $|A| = \text{const}$ . При  $z_0 < z_{0*}$  функция  $z(\psi)$  монотонно убывает и при некотором  $\psi$  становится равной нулю. Типичный вид графиков  $z(\psi)$  в этих трех случаях приведен на фиг. 3. Графики соответствуют  $\eta = 0,3$  и  $\chi$ , вычисленному из уравнения (3.10) при следующих значениях  $z_0$ : 1,02; 0,9723; 0,94. При  $z_0 \rightarrow z_{0*}+$  период функции  $|A|(y)$  стремится к бесконечности, а ее график приближается к последовательности уединенных волн отрицательной амплитуды. Таким образом, решение уравнения (3.6) с начальными условиями (3.10) описывает взаимодействие двух волн, у которых величины  $k_{xi}$  совпадают.



Фиг. 3



Фиг. 4

Решения о взаимодействии воли с различными значениями  $k_{xi}$  получаются из построенных выше решений вращением. При вращении величина  $2k_x + k_y^2$  сохраняется, следовательно, дисперсионное соотношение (3.11) выполняется для всех взаимодействующих волн.

Выведем уравнения, описывающие эволюцию пары волн, аналогичные уравнениям (1.4). После домножения уравнений (3.1) на  $a_i$  и дифференцирования уравнений (3.2) по  $y$  возникает система

$$\frac{\partial}{\partial x} E_i + \frac{\partial}{\partial y} (E_i W_i) = 0, \quad \frac{\partial}{\partial x} W_i + \frac{\partial}{\partial y} F_i = 0 \quad (3.13)$$

$$F_i = -\frac{a_{iyy}}{a_i} + \frac{W_i^2}{2} + \frac{1}{2} [E_1 + E_2 + 2a_1 a_2 \cos(\psi_1 - \psi_2)], \quad E_i = a_i^2, \quad W_i = \psi_{iy}$$

Пусть  $E_i$ ,  $W_i$ ,  $\psi_i$  — функции быстрых  $x$ ,  $y$  и медленных  $X$ ,  $Y$  переменных ( $x=LX$ ,  $y=LY$ ,  $L$  — большая константа). Усредним уравнения (3.13)

$$\frac{\partial}{\partial X} \langle E_i \rangle + \frac{\partial}{\partial Y} \langle E_i W_i \rangle = 0, \quad \frac{\partial}{\partial X} \langle W_i \rangle + \frac{\partial}{\partial Y} \langle F_i \rangle = 0 \quad (3.14)$$

$$\langle E_i \rangle = \frac{E_{0i}}{R^2} \frac{\langle z^{-4} \rangle}{\langle z^{-2} \rangle}, \quad \langle W_i \rangle = \beta \mp \frac{k_y R^2}{\langle z^{-2} \rangle}$$

$$\langle E_i W_i \rangle = \beta \langle E_i \rangle \mp E_{0i} k_y, \quad \langle F_i \rangle = -k_{xi}$$

$$\beta = (k_{y1} + k_{y2})/2, \quad k_y = (k_{y2} - k_{y1})/2, \quad k_{y2} > k_{y1}$$

$$2k_{xi} + k_{yi}^2 + E_{01} + E_{02} = 0, \quad 2k_x + k_y^2 + E_{01} + E_{02} = 0$$

$$R = \frac{\eta k_y}{a_{01}} = \frac{1}{z_0}, \quad \chi = -\frac{2k_x}{k_y} \left( \frac{k_y}{a_{01}} \right)^{1/2}, \quad \eta = \frac{a_{02}}{a_{01}}$$

$$\langle G \rangle (X, Y) = \int_{\Delta x} \int_{\Delta y} G(x, y, X, Y) dx dy / \int_{\Delta x} \int_{\Delta y} dx dy; \quad G = E, W, F, EW$$

$$\langle z^n \rangle = \int_{\Delta \psi} z^n d\psi / \Delta \psi; \quad n = -2, -4$$

Здесь  $\Delta x \Delta y$  — достаточно большая область,  $\Delta \psi$  — отрезок, на котором укладывается достаточно большое число колебаний квазипериодической функции  $z(\psi)$ , являющейся решением уравнения (3.6) с начальными условиями (3.10),  $\beta$  — параметр преобразования вращения. С помощью вращения из решений, в которых  $k_{xi} = k_x$ ,  $k_{yi} = \mp k_y$ , получены решения с заданными значениями  $k_{yi}$ . Все величины в уравнениях (3.14) определяются параметрами  $k_{yi}$  и  $E_{0i} = a_{0i}^2$ .

Для случая  $E_{02} \ll E_{01}$  можно воспользоваться линеаризованными реше-

ниями, для которых осредненные уравнения имеют более простой вид

$$\begin{aligned} \frac{\partial}{\partial X} \langle E_i \rangle + \frac{\partial}{\partial Y} \langle E_i \rangle \langle W_i \rangle, \quad \langle W_i \rangle = k_{yi}, \quad \langle E_i \rangle = E_{0i} \\ \frac{\partial}{\partial X} \langle W_i \rangle + \frac{\partial}{\partial Y} \left( \frac{\langle W_i \rangle^2}{2} + \frac{\langle E_1 \rangle + \langle E_2 \rangle}{2} \right) = 0 \end{aligned} \quad (3.15)$$

Уравнение, определяющее характеристические скорости [6] системы (3.15), имеет вид

$$(\langle W_1 \rangle - c)^2 (\langle W_2 \rangle - c)^2 - \frac{1}{2} \langle E_1 \rangle (\langle W_2 \rangle - c)^2 - \frac{1}{2} \langle E_2 \rangle (\langle W_1 \rangle - c)^2 - \frac{1}{4} \langle E_1 \rangle \langle E_2 \rangle = 0 \quad (3.16)$$

Если величина  $|\langle W_2 \rangle - \langle W_1 \rangle|$  не слишком мала по сравнению с  $\langle E_1 \rangle^{1/2}$ , оно имеет четыре действительных корня, система (3.15) гиперболическая. С точностью до членов порядка  $\langle E_2 \rangle^{1/2}$  характеристические скорости определяются формулами

$$\begin{aligned} c_{1,2} &= \langle W_1 \rangle \mp \sqrt{\frac{\langle E_1 \rangle}{2} + \frac{\langle E_1 \rangle \langle E_2 \rangle}{4(\langle W_1 \rangle - \langle W_2 \rangle \pm \sqrt{0,5 \langle E_1 \rangle})^2}} \\ c_{3,4} &= \langle W_2 \rangle \mp \sqrt{\frac{0,5 \langle E_2 \rangle (\langle W_1 \rangle - \langle W_2 \rangle)^2 + 0,25 \langle E_1 \rangle \langle E_2 \rangle}{(\langle W_1 \rangle - \langle W_2 \rangle)^2 - 0,5 \langle E_1 \rangle}} \end{aligned}$$

При  $\langle W_1 \rangle < \langle W_2 \rangle$   $c_1 < c_2 < c_3 < c_4$ . Первые две характеристики можно назвать характеристиками волны 1, а две другие характеристиками волны 2. Очевидно, аналогичными свойствами обладает и система (3.14).

**4. Автомодельные решения.** Система (3.14) аналогична системе (1.5), записанной для обеих волн. У нее должны существовать автомодельные решения, описываемые уравнениями

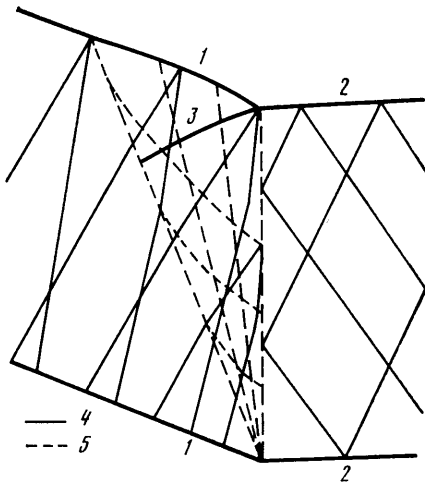
$$\langle E_i \rangle_\xi - \xi \langle E_i W_i \rangle_\xi = 0, \quad \langle W_i \rangle_\xi - \xi \langle F_i \rangle_\xi = 0, \quad \xi = X/Y \quad (4.1)$$

Уравнения (4.1) могут иметь отличающиеся от констант решения только в том случае, если одно из семейств характеристик прямые  $\xi = \text{const}$  (свойство центрированных простых волн). Тогда одно из соотношений на центрированной простой волне  $c_i = \xi$ , а еще три соотношения определяются по трем другим характеристикам.

Очевидно, исследованные численно в [7] решения могут быть описаны автомодельными решениями (4.1). В этих решениях график  $|A|(y)$  при фиксированном  $x$  близок к последовательности периодических волн, начинающейся с волн малой амплитуды и заканчивающейся уединенной волной понижения уровня. Схематичный вид графика  $|A|(y)$  при больших значениях  $x$  представлен на фиг. 4. Таким образом, эта автомодельная структура составлена из трехволновой конфигурации и центрированной простой волны, в которой волны 1 и 3 взаимодействуют в соответствии с системой (3.14), в начальной части  $\langle E_2 \rangle \ll \langle E_1 \rangle$  и можно применять систему (3.15).

Сходные автомодельные решения для периодических волн уравнения Кортевега — де Бриза ранее [11] также исследовались методом Уизема. Здесь же исследуются решения системы (1.3), аналогичной системе уравнений Буссинеска с отрицательной дисперсией. В отличие от усредненных уравнений, используемых в [11], уравнения (3.14) описывают двухфазные решения и содержат четыре, а не три неизвестных. Решение системы (1.3) в виде уединенной волны понижения уровня соответствует резонансному взаимодействию волн, описываемых уравнением Шредингера.

На фиг. 5 представлена схема расположения фронтов волн 1, 2, 3 в исследуемом автомодельном решении, а также характеристик волн 1 и 2



Фиг. 5

в котором соответствующая характеристика волны 3 (линия 3) и волны 5 (линия 5). Поскольку в центрированной простой волне одно из семейств характеристик — прямые  $\xi=\text{const}$ , а центрированная простая волна следует сразу за линией разрыва, то характеристика этого семейства направлена вдоль линии разрыва. Сравнение начальной части рассматриваемого решения с аналогичным решением для солитонов показывает, что семейством характеристик  $\xi=\text{const}$  являются характеристики волны 3, обозначенные выше номером 3,  $c_1 < c_2 < c_3 < c_4$  (см. фиг. 5).

Условия на разрыве симметричны относительно волн 1 и 3. Можно поменять номера волн 1 и 3 местами и рассмотреть другой разрыв, характеристика которого направлена вдоль линии разрыва.

Таким образом, рассмотренные в разд. 2 разрывы на самом деле заменяют некоторые автомодельные структуры, аппроксимируемые соотношениями (2.8).

**5. Усредненные уравнения для волны на поверхности жидкости переменной глубины.** При достаточно медленном изменении глубины огибающая периодических волн описывается параболическим уравнением, представляющим собой обобщение уравнения (1.1) [12]

$$2kcc_gA_x + (kcc_g)_x A - i(cc_g A_y) + ikcc_g K' |A|^2 A = 0 \quad (5.1)$$

Формулы, определяющие величины  $c$ ,  $c_g$ ,  $k$ ,  $K'$ , приведены в разд. 1. Но в уравнении (5.1) эти величины зависят от  $x$  и  $y$ , поскольку параметр  $h$  переменный.

Для вывода уравнений, аналогичных уравнениям (1.4), необходимо выполнить те же операции, что и в разд. 1, и сделать предположение  $h=h(X, Y)$ . Система, описывающая эволюцию волны, имеет вид

$$\begin{aligned} \frac{\partial}{\partial X} E + \frac{1}{k} \frac{\partial}{\partial Y} (EW) + \frac{EW}{kcc_g} \frac{\partial}{\partial Y} (cc_g) + \frac{E}{kcc_g} \frac{\partial}{\partial X} (kcc_g) &= 0 \\ \frac{\partial}{\partial X} W + \frac{\partial}{\partial Y} \left( \frac{W^2}{2k} + \frac{K'}{2} E \right) &= 0 \end{aligned} \quad (5.2)$$

Первое уравнение системы (5.2) можно записать также в дивергентном виде

$$\frac{\partial}{\partial X} (kcc_g E) + \frac{\partial}{\partial Y} (cc_g EW) = 0$$

Аналогично выводятся и уравнения для пары волн

$$\begin{aligned} \frac{\partial}{\partial X} \langle E_i \rangle + \frac{1}{k} \frac{\partial}{\partial Y} \langle E_i W_i \rangle + \frac{\langle E_i W_i \rangle}{kcc_g} \frac{\partial}{\partial Y} (cc_g) + \frac{\langle E_i \rangle}{kcc_g} \frac{\partial}{\partial X} (kcc_g) &= 0 \\ \frac{\partial}{\partial X} \langle W_i \rangle + \frac{\partial}{\partial Y} \langle F_i \rangle &= 0 \end{aligned} \quad (5.3)$$

$$F_i = -\frac{a_{iy}}{ka_i} + \frac{W_i^2}{2k} + \frac{K'}{2} [E_1 + E_2 + 2a_1 a_2 \cos(\Psi_1 - \Psi_2)]$$

где  $E_i(x, y)$ ,  $W_i(x, y)$ ,  $\Psi_i(x, y)$  определяются так же, как в разд. 3, как функции, описывающие решение о взаимодействии двух волн над горизонтальным дном. При этом коэффициенты уравнения Шредингера (1.1) предполагаются не зависящими от быстрых переменных  $x, y$ , по зависящими от параметра  $h$ .

Как и в случае солитонов [1], при  $h=h(Y)$  уравнения (5.2) и (5.3) имеют стационарные решения, описываемые интегральными соотношениями

$$cc_g E W = C_1, \quad \frac{W^2}{2k} + \frac{K'}{2} E = C_2 \quad (5.4)$$

$$cc_g \langle E_i W_i \rangle = C_{1i}, \quad \langle F_i \rangle = C_{2i} \quad (5.5)$$

где  $C_1, C_2, C_{1i}, C_{2i}$  – некоторые константы.

Среди стационарных решений (5.4), так же как и в случае солитонов, можно выделить сверхзвуковые решения, в которых обе характеристики находятся по одну сторону от изолинии глубины, и дозвуковые, в которых характеристики расположены по разные стороны от изолинии глубины.

Как показывалось выше, в системе, описывающей распространение пары волн, характеристические скорости одной из волн большие характеристических скоростей другой волны. Поэтому среди стационарных решений (5.5) можно выделить три типа. В первом типе все четыре характеристики расположены по одну сторону от изолинии глубины. Во втором характеристики одной волны расположены по одну сторону, а другой – по разные стороны. В третьем типе решений характеристики одной из волн расположены справа от изолинии глубины, а другой – слева.

Таким образом, и в случае первичного дна имеется аналогия между распространением уединенных и периодических волн. Большинство качественных результатов работ [1–5] применимо к периодическим волнам.

Автор благодарит А. Г. Куликовского и А. А. Бармина за обсуждение.

## ЛИТЕРАТУРА

1. Куликовский А. Г., Рейтог В. А. Распространение пелинейных волн над полубесконечными подводными впадинами и хребтами // Изв. АН СССР. МЖГ. 1980. № 2. С. 53–61.
2. Бахолдин И. Б. Разрывы переменных, характеризующих распространение уединенных волн в слое жидкости // Изв. АН СССР. МЖГ. 1984. № 3. С. 87–93.
3. Бахолдин И. Б. Распространение уединенных волн над подводными хребтами // Изв. АН СССР. МЖГ. 1985. № 1. С. 86–93.
4. Бахолдин И. Б. Автомодельные решения, описывающие распространение уединенных волн над подводными хребтами и впадинами // Изв. АН СССР. МЖГ. 1985. № 5. С. 137–144.
5. Бахолдин И. Б. Распространение уединенных волн над полубесконечным подводным желобом // Изв. АН СССР. МЖГ. 1987. № 4. С. 102–107.
6. Уизем Дж. Линейные и нелинейные волны: Пер. с англ. М.: Мир, 1977. 621 с.
7. Yue D. K. P., Mei C. C. Forward diffraction of Stokes waves by a thin wedge // J. Fluid Mech. 1980. V. 99. Pt. 1. P. 33–52.
8. Peregrine D. H. Water waves, nonlinear Schrodinger equations and their solutions // J. Austral. Math. Soc. 1983. V. B25. P. 16–43.
9. Карпман В. И. Нелинейные волны в диспергирующих средах. М.: Наука, 1973. 175 с.
10. Peregrine D. H. Wave jumps and caustics in the propagation of finite-amplitude water waves // J. Fluid Mech. 1983. V. 136. P. 435–452.
11. Гуревич А. В., Питаевский Л. П. Нестационарная структура бесстолкновительной ударной волны // ЖЭТФ. 1973. Т. 65. № 2. С. 590–604.
12. Kirby J. T., Dalrymple R. A. A parabolic equation for the combined refraction-diffraction of Stokes waves by mildly varying topography // J. Fluid Mech. 1983. V. 136. P. 453–466.

Москва

Поступила в редакцию  
21.VI.1988